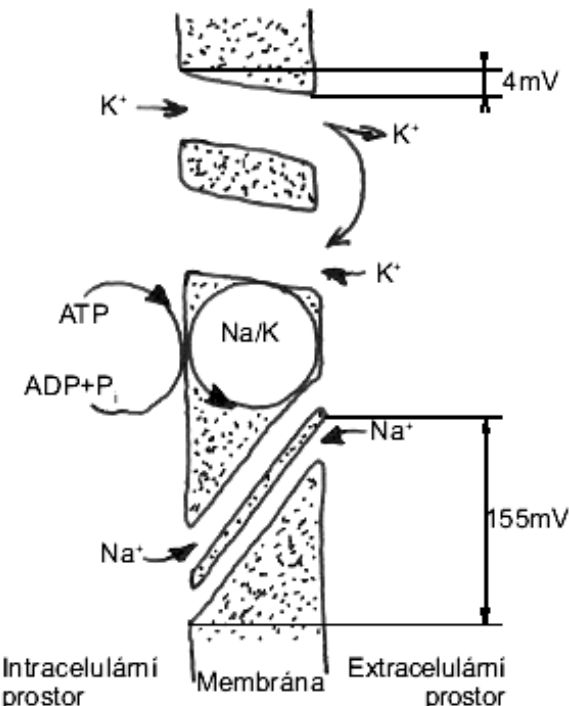


**Fig. 4.4** The micropipette is used for electrical recording (extracellular, intracellular, patch), electrical stimulation (current or voltage clamp), or delivery of substances (microionophoresis or pressure ejection). Preparation of an intracellular recording micropipette is shown on the left. The diagram on the right shows the arrangement for recording from a squid axon and observing potentials on a cathode ray oscilloscope (CRO).



$$E_{\text{ion}} = \frac{RT}{zF} \ln \frac{[\text{ion}]_o}{[\text{ion}]_i}$$

$$E_{\text{ion}} = 61 \text{ mV} \log \frac{[\text{ion}]_o}{[\text{ion}]_i}$$

Nernstova r.

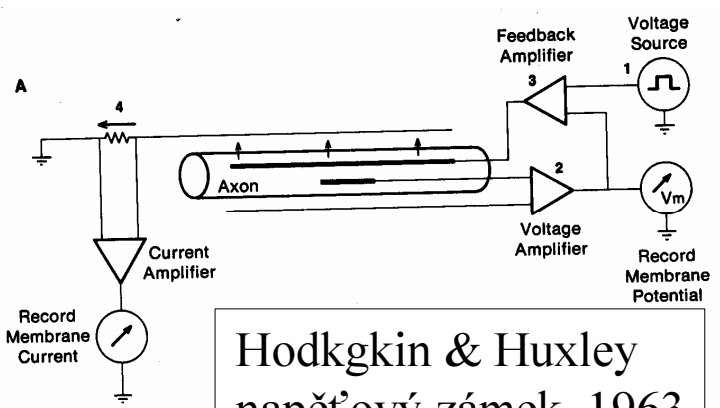
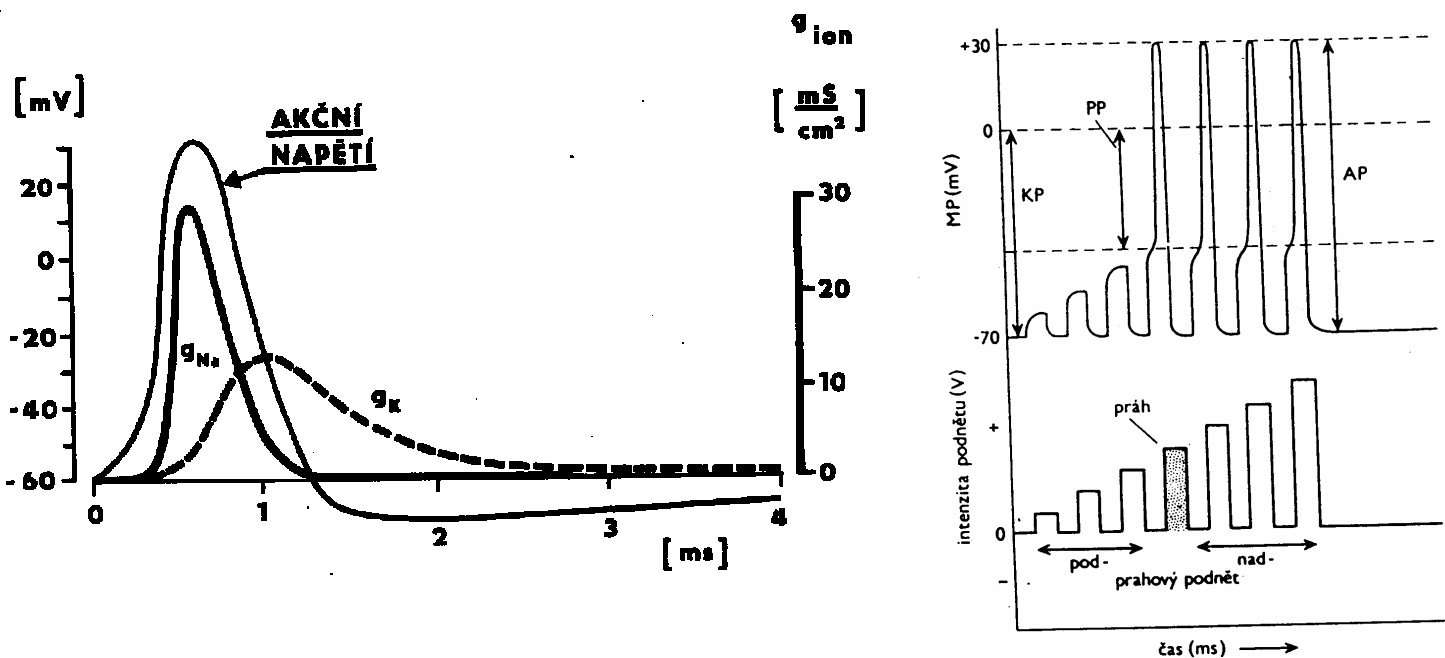
$$E_r = \frac{RT}{F} \ln \frac{PK^+[K^+]_o + PNa[Na^+]_o + PCl[Cl^-]_o}{PK^+[K^+]_i + PNa[Na^+]_i + PCl[Cl^-]_o}$$

Goldmanova r.

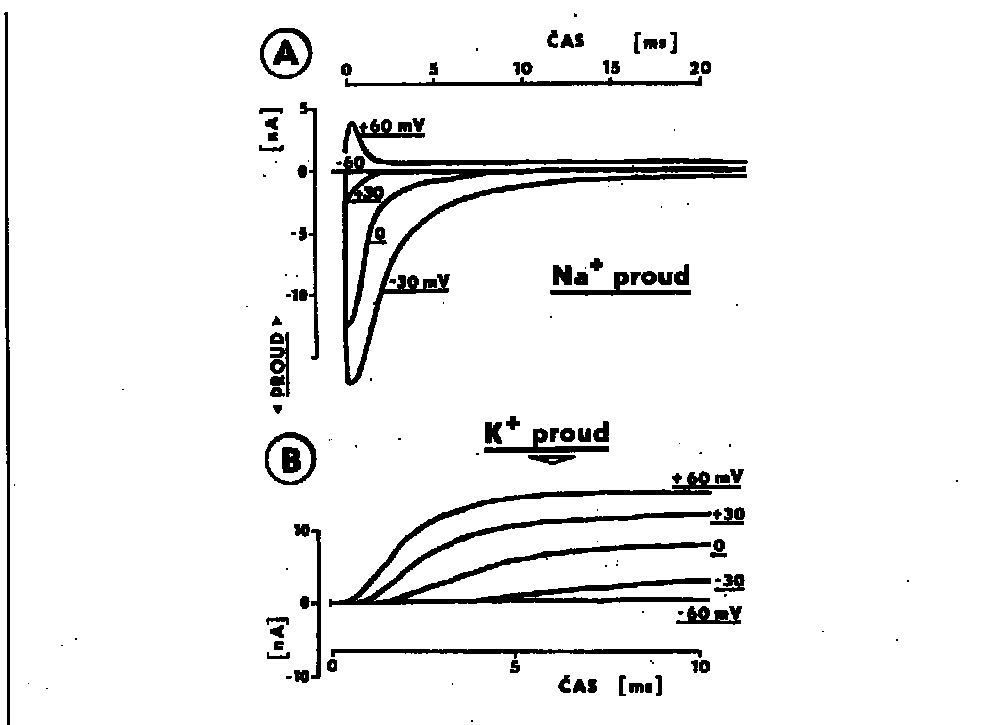
**Obr. 2.9.** Rozdílné membránové podmínky pro  $\text{Na}^+$  a  $\text{K}^+$ .  $\text{Na}/\text{K}$  pumpa stále udržuje na membráně gradient  $\text{Na}^+$  i  $\text{K}^+$ . Zatímco  $\text{K}^+$  však může membránou volně procházet, pro  $\text{Na}^+$  je téměř neprostupná.  $\text{Na}^+$  je čerpáno „do strmého kopce“ – proti velké elektrochemické síle.

Iont	Koncentrace		Gradient Intra/Extra	Rovnovážný potenciál
	Intracelulární	Extracelulární		
$\text{Na}^+$	12 mmol/l	145 mmol/l	1:12	+67 mV
$\text{K}^+$	155 mmol/l	4 mmol/l	39:1	-98 mV
$\text{Cl}^-$	4 mmol/l	123 mmol/l	1:31	-90 mV
volný $\text{Ca}^{2+}$	$10^{-4}$ mmol/l	1,5 mmol/l	1:15.000	+129 mV
fixní anionty	155 mmol/l			

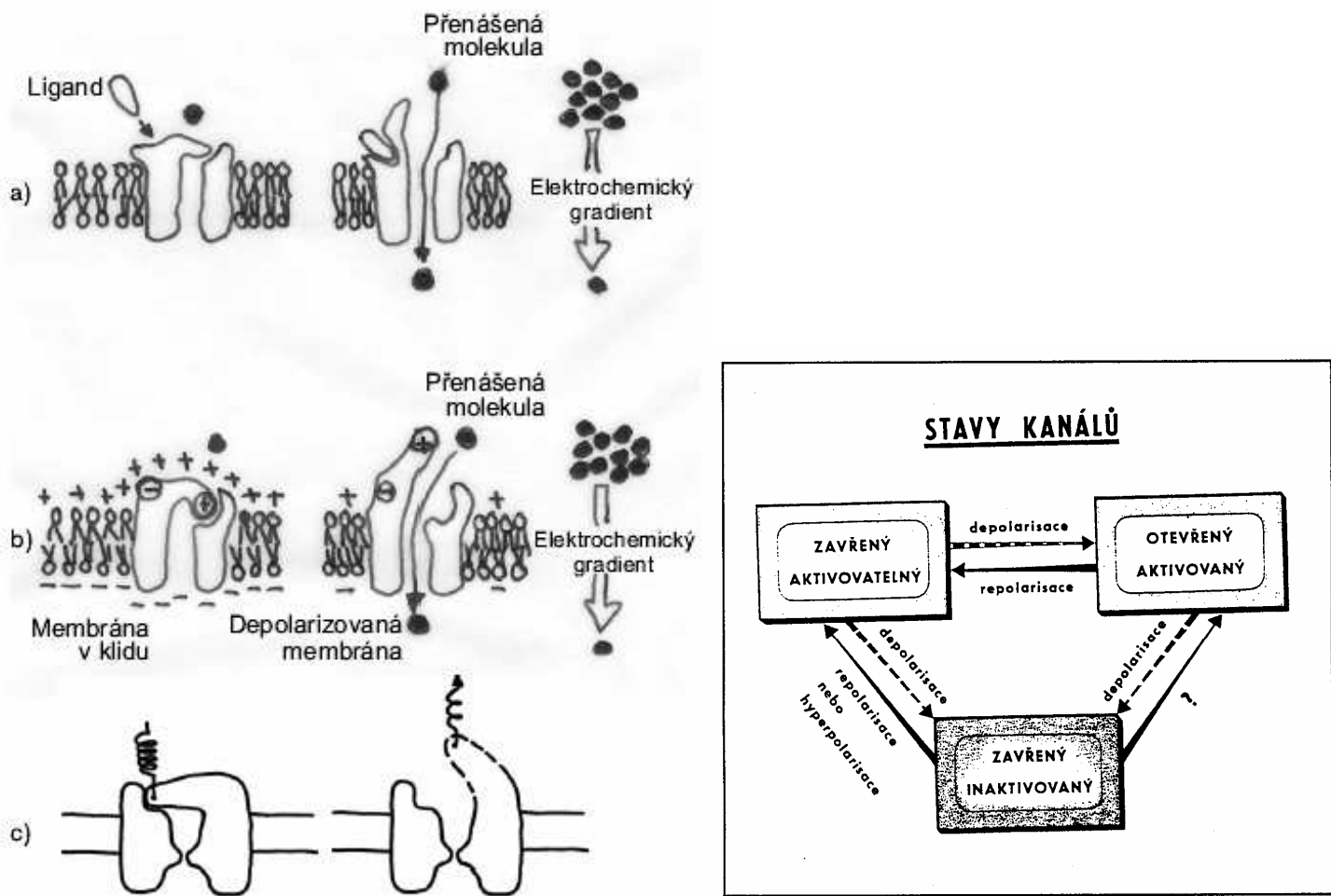
**Tab. 2.2.** Tabulka rozložení iontových koncentrací na buněčné membráně kosterního svalu savce.



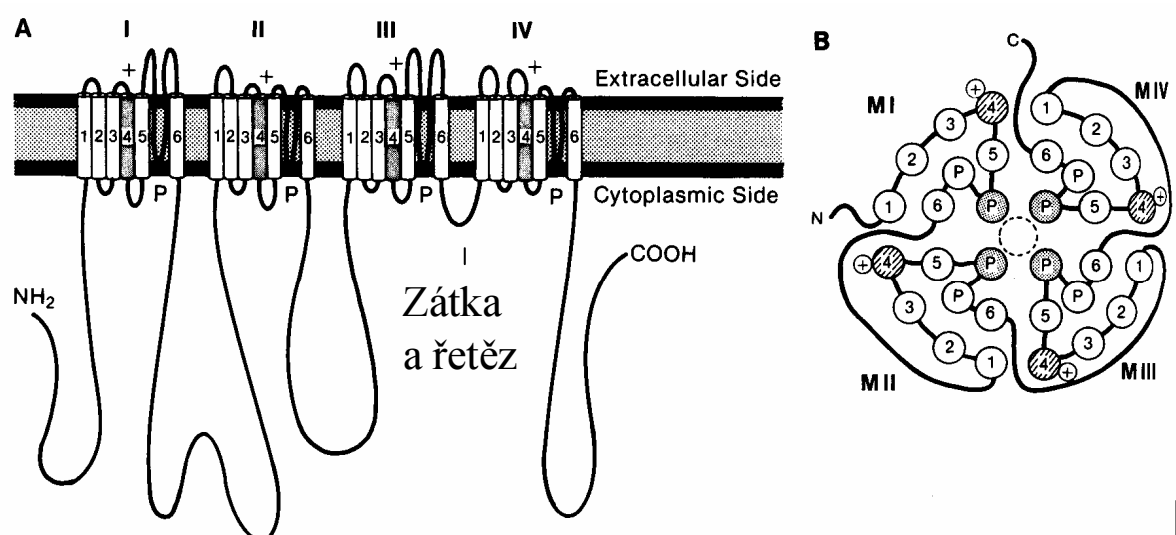
Hodgkin & Huxley  
napěťový zámek, 1963



Obr. 14.16 Membránové proudy na myelinisovaných axonech po experimentálně provedené skokové změně membránového napětí. Membránové napětí bylo v čase  $t=0$  skokem změněno z  $-60 \text{ mV}$  na hodnoty uvedené u jednotlivých křivek. Křivky vyjadřují naměřené proudy iontů, nahoře natria, dole kalia. Svislá osa - intenzita proudu, vodorovná osa - čas. Při skoku na  $+60 \text{ mV}$  je skok ještě podprahový a nevyvolává žádny proud. A:  $\text{Na}^+$  proud; mezi  $+30$  a  $+60 \text{ mV}$  mění  $\text{Na}^+$  proud polaritu z negativního (směrem do buňky, pod vodorovnou přímkou) na pozitivní (ven z buňky, nad přímkou, pro daný preparát leží totiž hodnota rovnovážného napětí pro  $\text{Na}^+$  pod  $+60 \text{ mV}$ ) a s přibývající depolarizací teče stále krásceji. B:  $\text{K}^+$  proud; tento proud stoupá po depolarizaci (do pozitivních hodnot, tj. ven z buňky) mnohem pomaleji než proud  $\text{Na}^+$  a drží se na stejné výšce během celé depolarizace. (Z DUDELA 1990b)

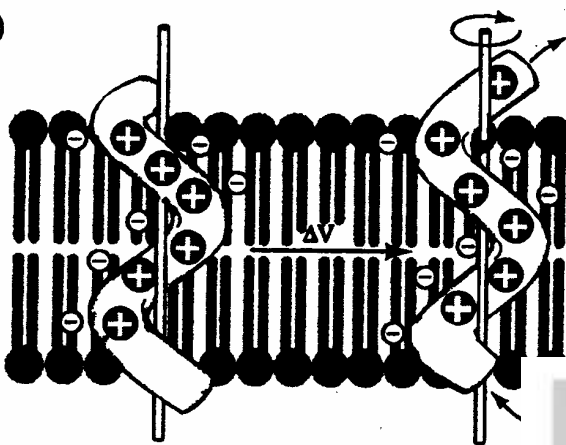


Obr. 2.7. Vrátkované kanály. Pohyblivá uzavírací doména reaguje otevřením kanálu na různé podněty: a) chemicky vrátkované na vazbu ligandu na receptorové místo, b) elektricky vrátkované na změnu membránového napětí, c) mechanicky vrátkované na tah za připojený cytoskeletální filament.

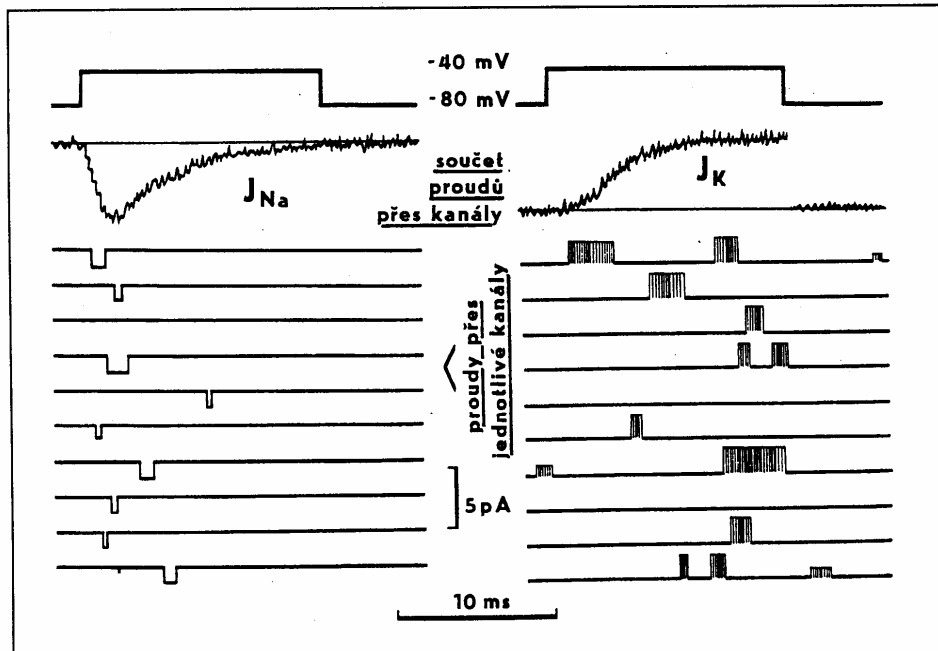
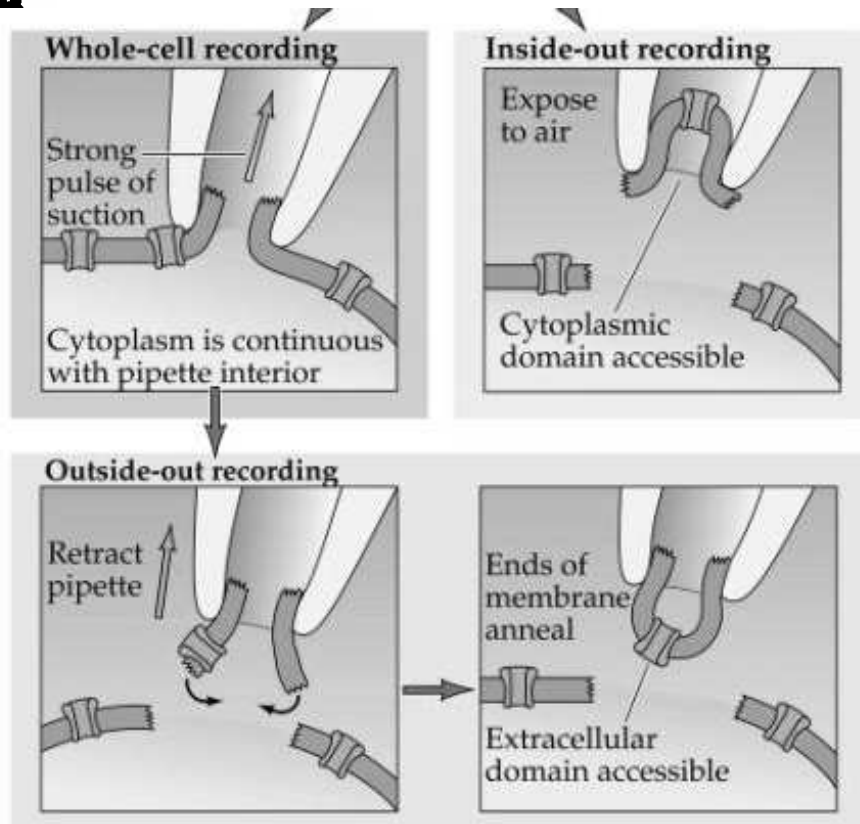


**Fig. 5.3** Presumed tertiary structure of the  $\text{Na}^+$  channel protein based on hydropathicity plots of the primary amino acid sequence. A. The channel protein consists of four repeating subunits, each containing six presumed transmembrane segments. Segment 4 contains an excess of positively charged residues and is assumed to be the voltage sensor. A long loop between segments 5 and 6 is believed to dip into the membrane and form the face of the pore. A cytoplasmic loop contains the inactivation gate. B. View looking down on the membrane to see the arrangement of the four subunits around the central pore. The  $\text{Ca}^{2+}$  channel protein is similar in its construction. (Modified from Catterall, 1988, and Stevens, 1991, in Kandel et al., 1991)

(B)



## Neher & Sackman Terčíkový zámek, 1991 – Patch Clamp



Obr. 14.18 Proudy tekoucí  $\text{Na}^+$ -kanály (vlevo) a  $\text{K}^+$ -kanály (vpravo). Membránové napětí bylo po dobu 14 ms experimentálně skokem přestaveno z  $-80 \text{ mV}$  na  $-40 \text{ mV}$  (horní křivka), a to bylo desetkrát opakováno. Přitom byly měřeny membránové proudy (10 křivek v dolní části obr.). Proudys proteklé jednotlivými kanály se objevují porůznou během depolarizace a trvají různě dlouho. Sumací takovýchto záznamů vzniká záznam sumačního proudu,  $J_{\text{Na}}$  popř.  $J_{\text{K}}$  (zubatá křivka). Je vidět, že u  $\text{Na}^+$ -kanálů je otevření nejpravděpodobnější krátce po změně napětí na membráně a že pak dochází k pozvolné inaktivaci.  $\text{K}^+$ -kanály se naproti tomu otevírají v průměru s jistým zpožděním, pak se však ustavuje určitá střední častotu otevření, která zůstává konstantní po celou dobu depolarizace. (Z DUDELA 1990b)